

文章编号:1007-5321(2017)01-0130-07

DOI:10.13190/j.jbupt.2017.01.023

多项式数据通路的高层次综合方法

李东海, 杨小军, 杨云, 范中磊

(长安大学信息工程学院, 西安 710064)

摘要: 为了实现多项式数据通路的高层次综合,采用有序、简化和正则的带权值广义表模型表达该多项式。首先对该带权值广义表进行线性化处理;然后提出了基于带权值广义表的多项式数据通路的高层次优化方法。该方法以自底向上的方式遍历带权值广义表中的节点,并迭代地析取该带权值广义表中的乘法和加法项,进而将该带权值广义表转换为不可简化的有层次的带权值广义表集合,最终将该集合转换为更适于高层次综合的可调度数据流图。实验结果表明,与传统的方法相比,采用该方法得到的数据流图转化为寄存器传输级结构具有更小的延迟和面积。

关键词: 多项式;带权值广义表;数据通路;高级综合

中图分类号: TP391.7

文献标志码: A

The Method of High Level Synthesis for Polynomial Datapaths

LI Dong-hai, YANG Xiao-jun, YANG Yun, FAN Zhong-lei

(School of Information Engineering, Chang'an University, Xi'an 710064, China)

Abstract: In order to implement high level synthesis for polynomial datapaths, the ordered, reduced and canonical weighted generalized list was used to represent for the polynomials. The weighted generalized list was linearized firstly. And based on the weighted generalized list, a high level optimization method for polynomial datapaths was given, which traverses the nodes of the weighted generalized list in a bottom-up fashion and extracted the product terms and sum terms from the weighted generalized list iteratively, and then transforms weighted generalized list into a set of irreducible hierarchical weighted generalized lists, and finally transforms the set of irreducible hierarchical weighted generalized lists into corresponding schedulable data flow graphs which are better suited for high level synthesis. Experiments show that the register transfer level structure which obtained from the schedulable data flow graphs generated by the proposed method had smaller latency and less datapath area than those obtained using traditional methods.

Key words: polynomial; weighted generalized list; datapaths; high level synthesis

算术密集型设计的初始化设计规范往往可以抽象成多项式描述^[1],对该设计的高层次综合,需要采用有效的方法对初始的算术规范进行优化。而传统的优化方法包括:基本代数性质的方法^[2-5]、基于多项式符号代数方法^[6]、基于因子分解和公共子表达式消去方法^[1,7],均没有提供一种正则的表达方

式对相应的多项式进行描述,严重缩小了优化的范围。由于带权值广义表^[8](WGL, weighted generalized list)可有效地表达多项式,笔者提出一种基于WGL的方法来实现初始设计规范优化。通过对WGL进行线性化处理,然后迭代地对该线性WGL进行分解,最终可产生适用于高级综合的优化数据

收稿日期:2016-08-23

基金项目:国家自然科学基金项目(61473047);中央高校基本科研业务费专项资金项目(310824161004)

作者简介:李东海(1977—),男,讲师, E-mail: dhli@chd.edu.cn.

流图 (DFG, data flow graph). 采用传统的综合工具可将该 DFG 综合成时延和面积更优化的硬件实现.

1 WGL 表达多项式

对于多元整系数多项式 $f(x_0, x_1, \dots, x_{n-1})$, 变量 x_0 在 $x_0 = 0$ 时的泰勒展开结果为

$$\begin{aligned} f(x_0, x_1, \dots, x_{n-1}) &= f(0, x_1, \dots, x_{n-1}) + \\ & x_0 \frac{\partial}{\partial x_0} f(0, x_1, \dots, x_{n-1}) + \\ & \frac{x_0^2}{2!} \frac{\partial^2}{\partial x_0^2} f(0, x_1, \dots, x_{n-1}) + \dots + \\ & \frac{x_0^i}{i!} \frac{\partial^i}{\partial x_0^i} f(0, x_1, \dots, x_{n-1}) + \dots \end{aligned} \quad (1)$$

其中: $\frac{\partial}{\partial x_0} f(0, x_1, \dots, x_{n-1})$ 、 $\frac{\partial^2}{\partial x_0^2} f(0, x_1, \dots, x_{n-1})$ 和 $\frac{x_0^i}{i!} \frac{\partial^i}{\partial x_0^i} f(0, x_1, \dots, x_{n-1})$ 等分别为多项式 f 在 $x_0 = 0$ 时对 x_0 的一阶、二阶和高阶偏导^[8].

式(1)中的其他变量按一定的顺序并按同样的方法迭代地进行泰勒展开, 其结果可采用如图 1 所示的 WGL 表示. 其中, WGL 的每个节点用分解变量的名字标记. 每条边用 w 标记, 其中 w 为边的权. 可对 WGL 进行简化和标准化操作^[8], 对于一个固定变量顺序、简化、标准化的 WGL 是正则的.

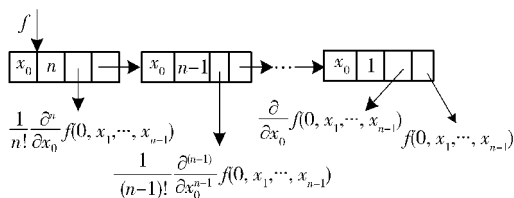


图 1 WGL 分解规则

定理 1^[8] 对于任意整系数多项式 $f(x_0, x_1, \dots, x_{n-1})$, 存在一个唯一、有序、简化的 WGL 表达 $f(x_0, x_1, \dots, x_{n-1})$, 且任何其他与该 WGL 有相同变量顺序的 WGL 表达 $f(x_0, x_1, \dots, x_{n-1})$ 会包含更多的节点. 换言之, 一个有序、简化 WGL 是最小的和正则的.

对于线性多元多项式的因式分解, 采用 WGL 的结构是有效的. 例如, WGL 表达变量顺序为 (a, b, c) 的多项式 $F = ab + ac$, 可表达为因子分解形式 $F = a(b + c)$. 然而, 当涉及非线性表达时, WGL 表达就失去其有效性. 例如, WGL 表达多项式 $F =$

$2a^2c + abc$, 如图 2(a) 所示, 节点 a 应该继续因子分解, 形成更紧凑的形式 $F = a(2a + b)c$, 但图 2(a) 所示的 WGL 不允许这样的因子分解. 不过可将其转换为线性形式, 并支持因子分解. 对于 $x^k (k > 1)$, 可将其转化为 $x^k = x_1 x_2 \dots x_k$, 其中 $\forall i, j, x_i = x_j$. 如式 (2) 所示的非线性表达. 把每次出现的 x^k 替换为 $x_1 x_2 \dots x_k$, 可将其转换为线性表达, 形成如式 (3) 所示的 Horner 型. Horner 型的特点为包含的乘法数最少, 因此适合于最少硬件资源数的实现.

$$F(x) = f_0 + x f_1 + x^2 f_2 + \dots + x^n f_n \quad (2)$$

$$F(x) = f_0 + x_1 (f_1 + x_2 (f_2 + \dots + x_n f_n)) \quad (3)$$

通过该规则, 函数 $F = 2a^2c + abc$ 可看作为 $F = 2a_1 a_2 c + a_1 bc$, 可简化为 $F = a_1 (2a_2 + b)c$, 等价于 $F = a(2a + b)c$, 如图 2(b) 所示. WGL 的线性化可通过迭代把高次方节点分裂, 直到每个节点表达变量的次方为 1.

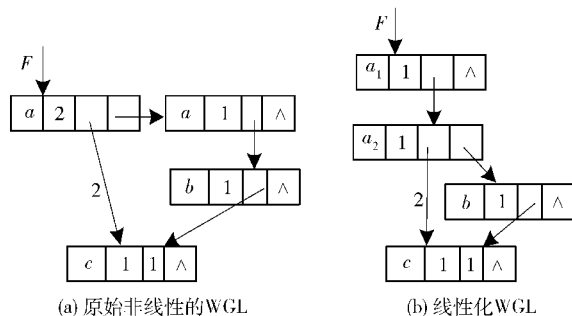


图 2 WGL 表达 $F = 2a^2c + abc$

引理 1 对于一个有序、简化的 WGL 进行线性化, 得到的线性 WGL 是唯一、正则和最小的.

证明 唯一性. 一个有序、简化的线性 WGL 是由有序、简化的 WGL 通过线性化得到的, 根据定理 1 可知有序、简化的 WGL 是唯一的, 那么相应的线性 WGL 中无冗余的节点, 同时该线性 WGL 中不包含任何同构的子表, 因此一个有序、简化的线性 WGL 中的所有节点是唯一的.

正则性. 由于一个有序、简化的 WGL 是正则的, 那么该 WGL 进行线性化后每个节点对应的分解是唯一的, 因此该 WGL 进行线性化后得到相应的线性 WGL 是正则的.

最小性. 若 L 为一个有序、简化、正则的 WGL 通过线性化后得到的线性 WGL, 假设存在另一个线性 WGL, L' 也是由该 WGL 通过线性化后得到的, 且 L' 的节点数比 L 少, 那么, 说明 L 还可通过简化操作

简化为 L' . 然而由于 L 是正则的线性 WGL, 且不含冗余的节点, 那么, L' 的节点数不可能比 L 少, 因此 L 是最小的和正则的.

下面提到的 WGL 都为线性的 WGL.

2 迭代的 WGL 分解

代数分解的主要目标是使表达中代数运算(加法和乘法)数最少. 例如, $F = ab + ac$ 可通过因子分解转化为 $F = a(b + c)$, 并把乘法数量由 2 减少到 1. 同时, 若代数表达中的某个子表达在该代数表达中出现超过 1 次, 那么可析取该子表达, 并用新的变量来替换它, 该过程称之为公共子表达消去. 通过因式分解和公共子表达消去把某个代数表达化简的方式称之为分解.

笔者利用 WGL 紧凑的正则表达, 在 WGL 上直接进行代数分解, 通过析取一些简单的项, 并用新的变量来替换这些项, 然后在更高层次图上按照同样的方式进行分解. 分解的最终结果为一系列层次的不可简化的 WGL. 分解算法以式(4)为例进行说明为

$$F = def + dg + ijl + dhl + kl \quad (4)$$

其中包含 8 个乘法和 4 个加法. 通过执行 WGL 分解可把该表达进行简化, 并得到 1 个含有较少乘法运算的 DFG. 图 3 所示为式(4)的 WGL 表达.

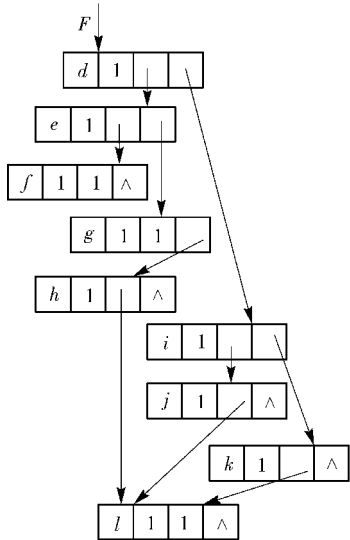


图3 WGL 表达 $F = def + dg + ijl + dhl + kl$

2.1 积项析取

可析取积项为 WGL 中变量的积, 即 $\prod x_i$, 且

该积在 WGL 中仅出现 1 次. 积项析取的主要任务是识别仅由一系列乘法边相连的 WGL 节点的子集, 该子集中的中间节点仅有 1 条父亲边和 1 条孩子边, 且这 2 条边必须为乘法边, 只有子集中的开始和结束节点有其他的加法边. 然后, 采用单个 WGL 节点来替换每个这样的子集, 且它的功能由新的变量 P_i 表达. 具体的积项析取算法如算法 1 所示.

算法 1 积项析取, 在 WGL 中化简所有的积项, 并把这些积项添加到不可简化的 WGL 列表.

Procedure ProductTerm() {

result = false;

LV = WGL 中自底向上出现变量的列表;

while (LV $\neq \emptyset$) {

lwf = LV 的头节点;

LV = LV - {lwf};

LPT = \emptyset ; (积项节点的列表)

LPT = LPT \cup {lwf};

if (\exists ! 节点 lwf 的乘法父节点 p) then {

LPT = LPT \cup { p };

while($p \neq \emptyset$) {

if (\exists ! 节点 p 的乘法父节点 k , 且节点 k 不存在加法子节点) then {

$p = k$;

LPT = LPT \cup { p };

productFound = true;

} else

$p = \emptyset$;

}

If productFound then {

产生变量 V_i ;

产生积项 $T_i = \prod_{n \in LPT} n$;

LEW = LEW \cup { T_i }; (不可简化的 WGL

列表)

用 V_i 替换 T_i ;

result = true;

}

return result;

}

由算法 1 可知,以自底向上的方式遍历 WGL,对于每个节点按照深度优先的方式遍历所有与它相连的节点,如果这些节点满足积项的条件,就把这些节点列入积项节点的列表中. 如图 3 所示的 WGL,从终节点开始首先访问节点 l . 该节点有多个扇入乘法边,因此不能构造积项,接着访问节点 j ,由于节点 j 仅有乘法父节点 i ,且节点 i 只有加法父节点,所以产生了一个可析取积项 ij ,并把该积项加入到列表 LEW 中;然后用变量 P_1 替换积项 ij ,并在 WGL 中对相应的节点进行替换. 按照同样的方法,在图 3 中还可析取积项 ef ,并用变量 P_2 替换,如图 4 所示,其中图 4(a) 为简化的 WGL,节点 P_1 和 P_2 分别替换积项 ij 和 ef . 由于积项 kl 、 jl 和 hl 的析取需要重复的节点 l ,所以这些项不是可析取积项.

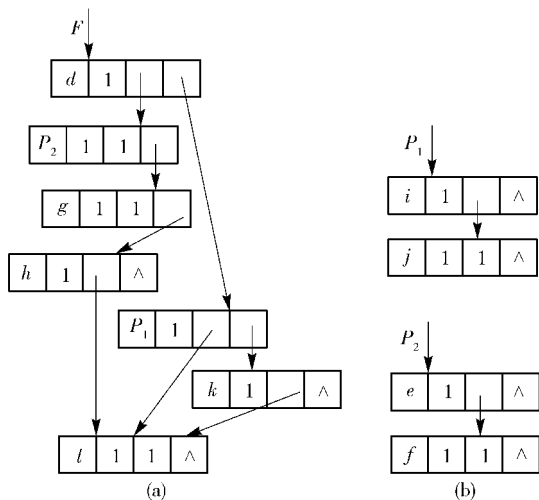


图 4 对图 3 WGL 进行积项析取的结果

2.2 和项析取

可析取和项为 WGL 中变量的和,即 $\sum x_i$. 与可析取积项相似,WGL 中和项以节点集出现,该节点集中所有节点的乘法边连接 1 个公共节点或未连接任何节点,且这些节点由加法边相连. 具体的和项析取算法如算法 2 所示.

算法 2 和项析取,化简 WGL 中的和项并把这些和项添加到不可约 WGL 列表中

Procedure SumTerm() {

result = false;

LV = WGL 中自底向上出现的变量列表;

while (LV $\neq \emptyset$) {

lwf = LV 的头节点;

LV = LV - {lwf};

if (\exists 节点 lwf 的乘法父节点) then

LP = 节点 lwf 的乘法父节点列表;

else

LP = {lwf} \cup 节点中无乘法边的节点列表;

sumFound = false;

while (LP $\neq \emptyset$) {

LST = \emptyset ; (和项节点的列表)

lpf = LP 的头节点;

LP = LP - {lpf};

LST = LST \cup {lpf};

for(每个节点 $p \in$ LP) {

if($p \in$ LP 的加法边存在) then {

LST = LST \cup {p};

sumFound = true;

}

}

if sumFound then {

产生变量 V_i ;

产生 $T_i = \sum_{n \in \text{LST}}$

LET = LET \cup { T_i };

用变量 V_i 替换 T_i ;

result = true;

}

}

}

}

}

}

}

}

}

}

}

}

}

}

}

}

}

}

}

}

由算法 2 可知,通过自底向上的方式遍历该 WGL,且对于每个节点 v ,存在 2 种情况:1) 若存在多个节点的乘法边都连接节点 v ,且这些节点都以加法边相连接,那么把这些节点加入到可析取和项的列表中;2) 若不存在节点的乘法边与节点 v 相连接,则把 WGL 中所有无乘法边相连的节点找出,然后再验证这些节点是否由加法边相连,进而析取相应的和项. 如图 4(a) 所示,从节点 l 开始的可达节点的列表为 $\{h, P_1, k\}$,其中 $\{k, P_1\}$ 由加法边连接. 因此,形成一个加法项 $(P_1 + k)$. 用新的变量 S_1 替换该和项,并把该和项表达为一个不可简化的 WGL;由算法 2 可知,在图 4(a) 中还可析取和项 $(P_2 + g)$,并用变量 S_2 替换. 直到从简化的 WGL 中不能再析取出其他的和项,最终得到层次化的 WGL

集合,如图5所示,其中图5(a)为顶层的WGL. 如果WGL中没有和项,那么应用算法1描述的积项析取后可能会得到额外的和项,例如图3中没有和项,然而析取积项后,包含和项 $S_1 = P_1 + k$ 和 $S_2 = P_2 + g$,如图4所示.

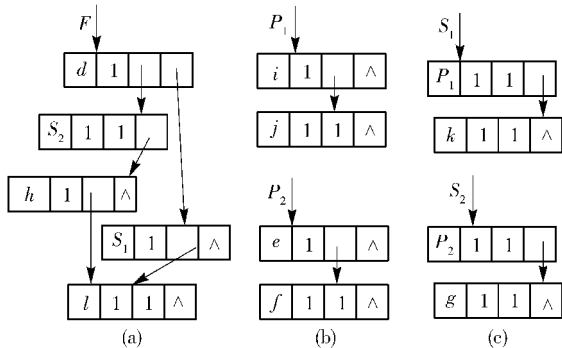


图5 对图4WGL进行和项析取的结果

2.3 最终分解

迭代地进行积项和和项析取,最终形成的顶层WGL是不可简化的,即采用算法1和算法2不能将该WGL进一步化简,如图5(a)所示的顶层WGL. 从该WGL根节点开始,按照一定的拓扑顺序遍历该WGL. 根据泰勒分解规则,访问节点 x_i ,相应的表达式 $F(x_i)$ 为

$$F(x_i) = x_i F_1(x_{i+1}) + F_0(x_{i+1}) \quad (5)$$

其中: $F_0(x_{i+1})$ 为从节点 x_i 开始的由加法边相连的子WGL, $F_1(x_{i+1})$ 为从节点 x_i 开始的由乘法边相连的子WGL.

如图5(a)相应的表达式为

$$F = d(S_2 + hl) + S_1 l \quad (6)$$

其中:和项 $S_1 = P_1 + k$ 和 $S_2 = P_2 + g$ 以及积项 $P_1 = ij$ 和 $P_2 = ef$ 均为不可简化的WGL.

迭代地执行WGL分解最终会产生一种简化的因式形式的代数表达,通过对表达中的变量顺序实施附加规则,得到的表达形式是唯一的.

定义 如果因式形式表达中的变量顺序与WGL中的变量顺序一致,那么该因式形式表达称为WGL的标准因式形式.

式(6)中变量出现的顺序与顶层WGL中的变量顺序一致. 由于 d 为WGL中的第1个变量,所以项 $d(S_2 + hl)$ 首先出现,接着项 $S_1 l$ 位于较下面的位置. 同样,项 $(S_2 + hl)$ 中的变量顺序与WGL中的变量顺序一致,因此子表达 P_1 、 P_2 和 S_1 、 S_2 中的变量顺

序与积项和和项的析取相关.

定理2 从线性WGL中得到的标准因式形式是唯一的.

证明 标准因式形式迭代的定义为代数表达的积之和和之积. 在最低层的分解中,积项(和项)为变量的乘积(变量的和),其中每个变量仅出现1次,且该变量的顺序是与WGL中的变量顺序一致. 因此,描述该项的表达是唯一的. 随后WGL的积项或和项析取相对应新的表达会产生新的变量. 根据WGL的正则性,每个这样的变量是唯一的,且在当前WGL中的位置也是唯一的,因此相对应的表达也是唯一的. 所以,对于任何分解点,每个子表达是唯一的,最终的标准因式形式表达也是唯一的.

3 数据流图的构建

一旦WGL被分解,并产生相应的标准因式形式,那么就可构建该表达相应的DFG. 首先,采用标准因式形式的基本性质是把每个不可简化的WGL转化成1个简单的DFG,即将WGL中的每条加法边和每条乘法边分别映射为DFG中相应的加法运算和乘法运算,DFG的每个节点仅有2条扇入边,分别连接的是相关运算的2个操作数. 在构建DFG的过程中,将DFG的每个节点存储在哈希表中,并以相应的WGL函数为键值. 在构建DFG的任一节点时,如果相应DFG节点的表达在该哈希表中,那么需要重用该表达. 例如,当构建节点 $f = abc$ 时,首先构建子表达节点 $z = ab$,接着构建节点 $f = zc$. 如果子表达节点 $z = ab$ 已经构建,那么节点 $f = zc$ 可重用该子表达. 这从DFG中消除了潜在的冗余,且该冗余无法通过因子分解而捕获到.

图6所示的DFG是从图5所示WGL的分解

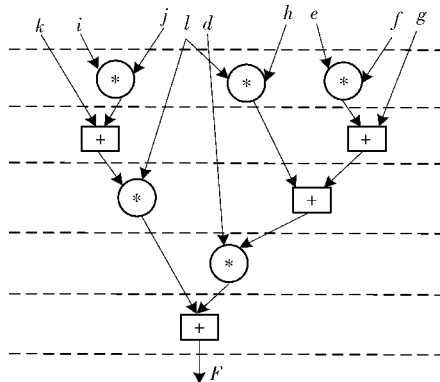


图6 从图5中得到的DFG

中得到. 与标准因式形式不同, DFG 表达是不唯一的. 当运算数保持一定时, 可采用逻辑综合和高级综合的方法将 DFG 进一步的重建并平衡最小延迟.

4 实验结果

笔者针对滤波器和计算机图形算法来测试提出算法的有效性, 分别对 5 次样条函数、4 次样条函数、Savitzky-Golay 滤波器和余弦小波计算进行了实验. 首先, 通过高级综合系统 GAUT 将采用 C 语言所写的设计进行编译, 产生一个初始的 DFG; 然后, 根据李东海等^[8]提供的方法将该 DFG 转换为 WGL; 接着采用笔者的方法将该 WGL 进行分解, 产生优化的 DFG; 最后, 采用高级综合系统 GAUT 将优化的 DFG 转化为寄存器传输级 (RTL, register transfer level) 结构. 表 1 分别为采用原始设计和笔者算法得到的 DFG 的结果, 其中移位运算为常系数乘法的变换.

表 1 用 GAUT 和笔者算法得到的 DFG 结果

设计	原始设计			笔者算法		
	加法	乘法	移位	加法	乘法	移位
5 次样条函数	5	28	2	6	14	4
4 次样条函数	4	21	2	5	13	4
Savitzky-Golay 滤波器	2	16	6	6	11	3
余弦小波计算	23	12	9	16	10	12

同时给定延迟约束, 对 DFG 进行重新调度得到所需的实际资源数, 结果如表 2 所示. 表中延迟参数如下: 乘法器为 18 ns; 加法器为 8 ns; 移位运算为 9 ns; 时钟周期为 10 ns; 面积为 GAUT 给出的虚拟单元. 对于给定延迟不能进行综合的标记为“-”. 对于 5 次样条函数, 原始设计得到的最小延迟为 180 ns, 用笔者算法得到的最小延迟为 110 ns; 对于 4 次样条函数, 原始设计得到的最小延迟为 160 ns, 用笔者算法得到的最小延迟为 100 ns; 对于 Savitzky-Golay 滤波器, 原始设计得到的最小延迟为 160 ns, 用笔者算法得到的最小延迟为 120 ns; 余弦小波计算原始设计得到的最小延迟为 180 ns, 用笔者算法得到的最小延迟为 110 ns. 同时在相同的延迟下, 笔者算法得到的面积比原始设计小.

表 2 用 GAUT 和笔者算法得到 DFG 在延迟约束下进行重新调度的结果

设计	延迟/ ns	原始设计				笔者算法			
		算术运算数			面积	算术运算数			面积
		加法	乘法	移位		加法	乘法	移位	
5 次样条函数	110	-	-	-	-	1	5	1	460
	120	-	-	-	-	2	4	2	422
	130	-	-	-	-	1	4	1	377
	140	-	-	-	-	1	3	1	294
	180	1	5	1	460	1	2	1	211
4 次样条函数	100	-	-	-	-	2	5	1	468
	110	-	-	-	-	1	5	1	460
	120	-	-	-	-	2	4	1	385
	130	-	-	-	-	1	4	1	377
	140	-	-	-	-	1	3	1	294
	160	1	5	0	423	1	3	1	294
Savitzky-Golay 滤波器	120	-	-	-	-	1	4	1	348
	130	-	-	-	-	2	3	1	273
	140	-	-	-	-	1	3	1	265
	160	1	4	2	356	1	2	1	182
余弦小波计算	110	-	-	-	-	4	2	4	336
	120	-	-	-	-	4	3	2	305
	130	-	-	-	-	3	3	2	295
	140	-	-	-	-	3	3	2	295
	150	-	-	-	-	3	2	2	273
	160	-	-	-	-	2	2	2	265
	170	-	-	-	-	3	2	1	236
	180	3	5	1	476	3	2	1	236

5 结束语

基于 WGL 分解, 实现了一种把初始算术规范转换为优化的 DFG 的方法, 该方法适合于算术密集型的高层次综合. 由实验结果可知, 该方法得到的 DFG 与传统的方法相比能找到更低延迟的 RTL 实现; 同时, 在相同的延迟下, 采用该方法能得到更少运算数的 RTL 实现.

参考文献:

[1] Ghandali S, Alizadeh B, Fujita M, et al. Automatic high-level data-flow synthesis and optimization of polyno-

- mial datapaths using functional decomposition[J]. IEEE Trans on Comput, 2015, 64(6): 1579-1593.
- [2] Gupta S, Savoiu N, Dutt N, et al. Using global code motion to improve the quality of results in high level synthesis[J]. IEEE Trans on Comput Aided Des Integr Circuits Syst, 2004, 23(2): 302-312.
- [3] Mantovani P, Guglielmo G D, Carloni P L. High-level synthesis of accelerators in embedded scalable platforms [C]//ASP-DAC 2016. Macao; China, 2016: 204-211.
- [4] Sierra R, Carreras C, Caffarena G. A formal method for optimal high-level casting of heterogeneous fixed-point adders and subtractors[J]. IEEE Trans on Comput Aided Des Integr Circuits Syst, 2015, 34(1): 52-62.
- [5] Zheng Hongbin, Gurumani S T, Yang Liwei, et al. High-level synthesis with behavioral-level multicycle path analysis[J]. IEEE Trans on Comput Aided Des Integr Circuits Syst, 2014, 33(12): 1832-1845.
- [6] Peymandoust A, Micheli G D. Application of symbolic computer algebra in high-level data-flow synthesis[J]. IEEE Trans on Comput Aided Des Integr Circuits Syst, 2003, 22(9): 1154-1165.
- [7] Ghandali S, Alizadeh B, Fujita M, et al. RTL datapath optimization using system-level transformations [C]//ISQED 2014. Santa Clara; CA, 2014: 309-316.
- [8] 李东海, 马光胜, 胡靖. 高层次数据通路的等价性验证方法[J]. 哈尔滨工程大学学报, 2008, 29(6): 583-588.
- Li Donghai, Ma Guangsheng, Hu Jing. The method of equivalence verification for high level datapaths [J]. Journal of Harbin Engineering University, 2008, 29(6): 583-588.